高密度焼結Ni鋼ならびにNi-Mo鋼の機械的性質

The Mechanical Properties of the High Density Sintered Ni Steels and Ni-Mo Steels

> 鎌田 充 也 Atsuya Kamada

安藤寿* Hisashi Andô 早 坂 忠 郎* Tadao Hayasaka

要旨

焼結材料の靭性(じんせい)を高める手段として、焼結体を高温で再圧縮し、密度比を99%以上とする方法を開発した。この方法で作られた焼結 Ni 鋼および Ni-Mo 鋼は従来の手法で作られる焼結鋼よりも機械的性質が著しくすぐれており、溶製鍛造材に近い値を有する。

1. 緒 言

一般に焼結材料は密度を高めることによって機械的性質を改善することはできるが、どこまで密度が高められるかということになると、従来の手法では技術的にも経済的にも大きな壁があった。筆者らは焼結材料の高密度化処理の新しい手法として、焼結体を高温で再圧縮する手法を考案し、この手法を HS 処理 (High Strengthening Treatment) と名付け発表した $(1)^{\sim (3)}$ 。

本報告は、この手法を応用した高密度焼結鋼のうち、Ni 鋼および Ni-Mo 鋼の機械的性質を紹介するものである。

2. 試料および実験方法

2.1 原 料 粉

表 1 は実験に使用した原料粉の性状を示したものである。Fe 粉は製鋼工場の圧延ミルスケールを還元粉砕したもの,Ni 粉はカーボニルニッケルを還元したものである。合金粉はいずれもアトマイズ粉である。これらの粉末はいずれもCが 0.03% 以下であり焼結にあたって加炭の必要がある。C源として 43μ 以下の鱗(リン)片状天然黒鉛を混合して使用した。

2.2 HS 処理条件の検討

Fe 粉, Ni 粉および黒鉛粉をそれぞれ 100:3:0.4 の割合に混合した粉末を $30\phi \times 20$ l に成形し、1,150 $\mathbb{C} \times 1$ h 焼結したのち、900 \sim 1,200 \mathbb{C} (H_2 中) に $5\sim 10$ 分加熱し、炉から取り出して圧力 $5\sim 15$ t/cm^2 、ラム速度 9 m/s で再圧縮した。

2.3 Ni 鋼

Fe 粉, Ni 粉および黒鉛粉を前項で述べたような割合で秤(ひょう)量し,これにステアリン酸亜鉛を 1% 添加し, V形混合機(容量5l) で 45 分間混合した。 1 回の混合重量は 10 kg である。この粉末を約 6 t/cm² で成形し 1,150 $\mathbb{C} \times 1$ h 焼結した。焼結はメッシュベルト式の連続焼結炉,ブタン変成ガスふん囲気中で行なわれた。

得られた焼結体を1,100℃に加熱(H2中)したのち炉から取り出

し、HS 処理し密度 $7.7\,g/cm^3$ 以上にした。また、比較のため再圧縮再焼結法によって密度 $7.4\,g/cm^3$ の焼結体を作製した。

これらの試料を 850° C $\times 0.5 h$ 加熱したのち油焼入れを行ない,さらに 150° C $\times 1 h$ 焼もどしを行なって機械的性質を測定した。引張試験片の形状は,平行部 $32\,\mathrm{mm}$,幅 $5.7\,\mathrm{mm}$,厚さ $5\,\mathrm{mm}$ の ASTM 形試験片,また衝撃試験片には JIS 3 号試験片を使用した。

2.4 Ni-Mo 鋼

アトマイズ粉は圧縮性を高めるためCを少なくするのが普通である。そこで黒鉛粉を $0.3\sim0.5\%$ 添加し、らいかい機で15分間混合した。この粉末を52g秤量し 10×60 mm のフローティングダイを使用し6t/cm²で成形し $1,100\sim1,300$ °C×1h 焼結した。焼結にはAl₂O3 と黒鉛の混合粉末中に試料を埋め込んで、H2 ふん囲気を使用した。

得られた焼結体を Ni 鋼と同様の条件で HS 処理を行ない, $800\sim900^{\circ}$ C $\times 0.5 h$ 加熱後油焼入れし 200° C $\times 1 h$ 焼もどしを行なって機械的性質を測定した。引張試験には平行部 $1.5 \,\mathrm{mm} \phi \times 15 \,\mathrm{mm} l$ の微小引張試験片を,また衝撃試験には JIS 3 号試験片を使用した。

3. 実験結果および検討

3.1 0.15%C-3% Ni 鋼の HS 処理とその効果

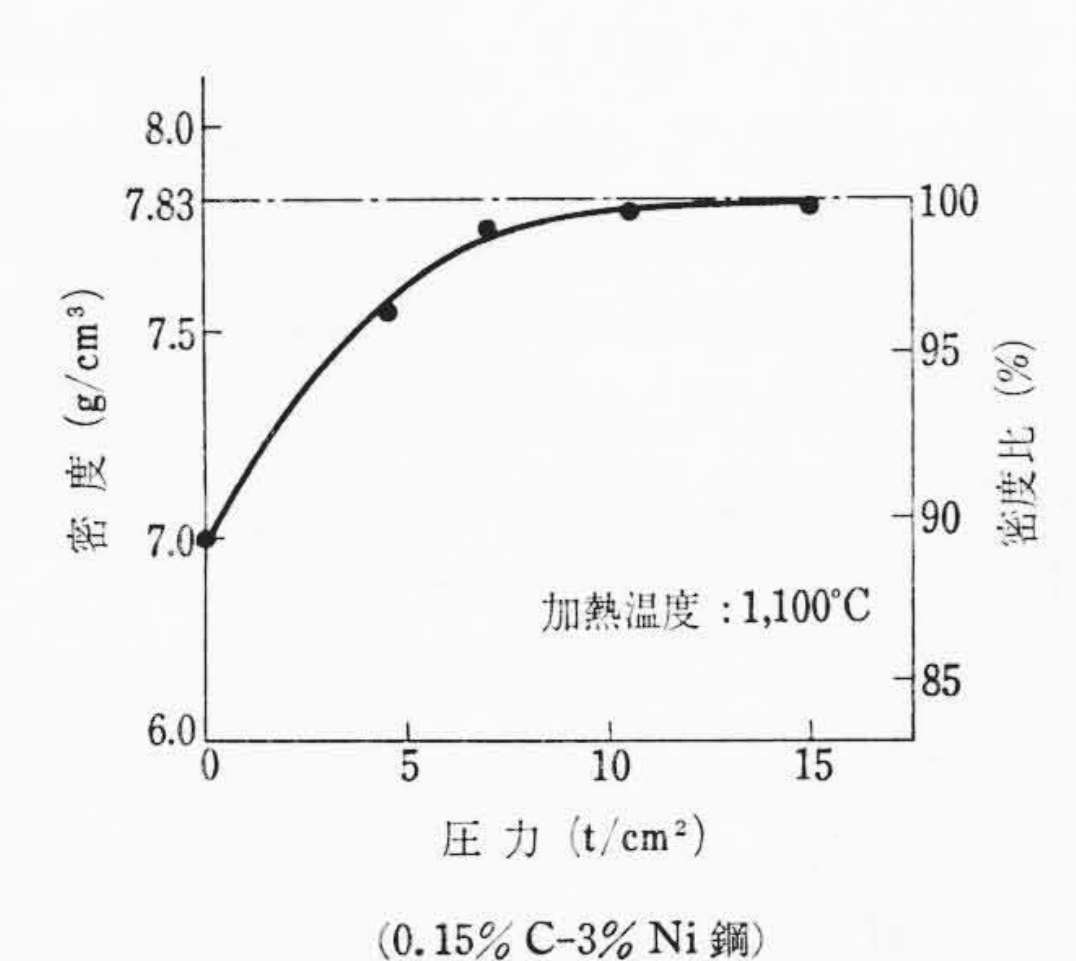
図 1 は密度 $7.0 \,\mathrm{g/cm^3}$ の 焼結体を $1,100 \,\mathrm{C}$ に 加熱し,圧力 $5 \,\mathrm{\sim} 15$ $\mathrm{t/cm^2}$ で再圧縮した結果を示したものである。図から明らかなよう に圧力 $7 \,\mathrm{t/cm^2}$ 以上で,密度比 99% 以上の焼結鋼が得られる。

図 2 は HS 処理した焼結鋼の気孔率,かたさおよび衝撃強さに及ぼす素材加熱温度の影響を示したものである。図中点線は HS 処理後 1,150 $\mathbb{C} \times 1$ h 再焼結した結果の値である。気孔率は素材加熱温度の上昇とともに減少し 1,100 \mathbb{C} 以上で 0.5% 以下となり,光学顕微鏡で空孔を観察することはできない。また再焼結しても気孔率は変化しない。かたさは HS 処理のままでは素材加熱温度の上昇とともに

表1 原料粉の性状

		成		3	分 (%)			粒 度	還元減量	流動度	Printed and the second	冼	考
		С	Si	Mn	Ni	Мо	Fe	(mesh) (%)	(%)	(s/50g)	(g/ cm ²)	備	15
金属粉	Fe	0.01	0.07	0.36				-100	0. 27	26.6	2.67	Ni 鋼	用
	Ni	0.1					0.1	4~7 μ				141 945	лз
合 金	文 粉	0.02	0.02	0.15	1.62	0.48		-100	0.1	23. 2	3.09	Ni-Mo §	鋼圧

^{*} 日立製作所日立研究所



^{**} 日立粉末冶金株式会社松戸工場

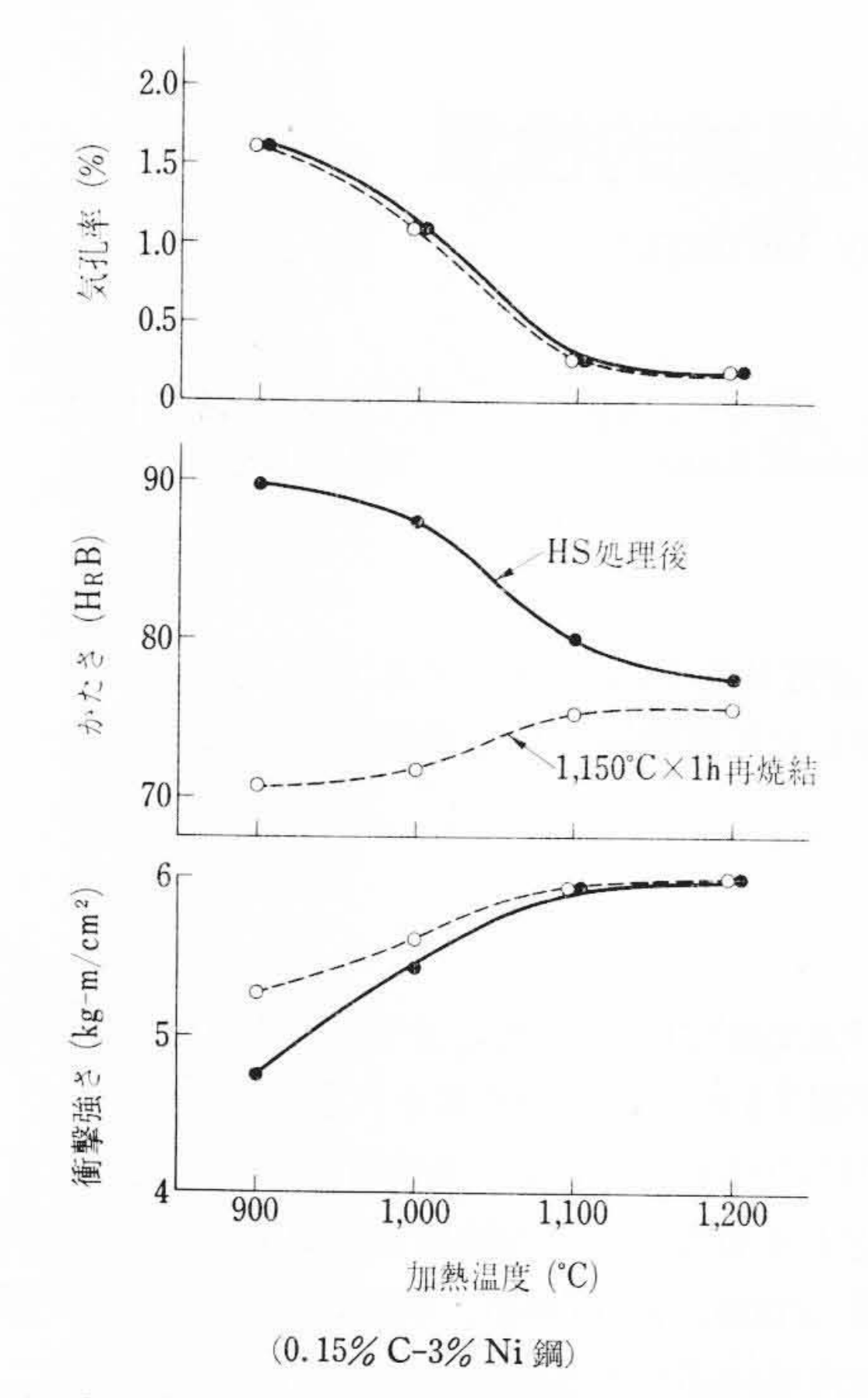


図2 気孔率,かたさ,衝撃強さに及ぼす 素材加熱温度の影響

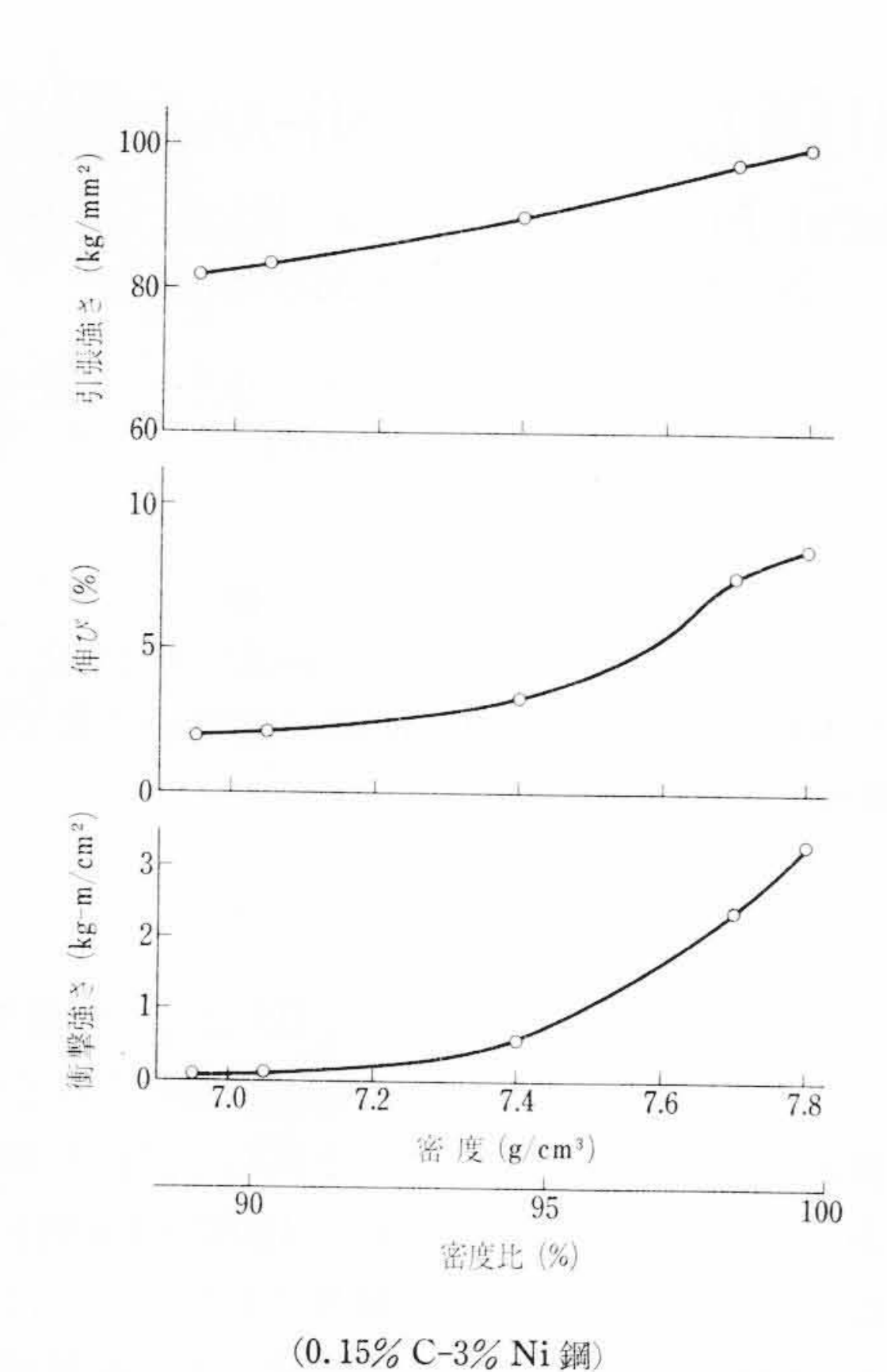


図3 機械的性質に及ぼす密度の影響

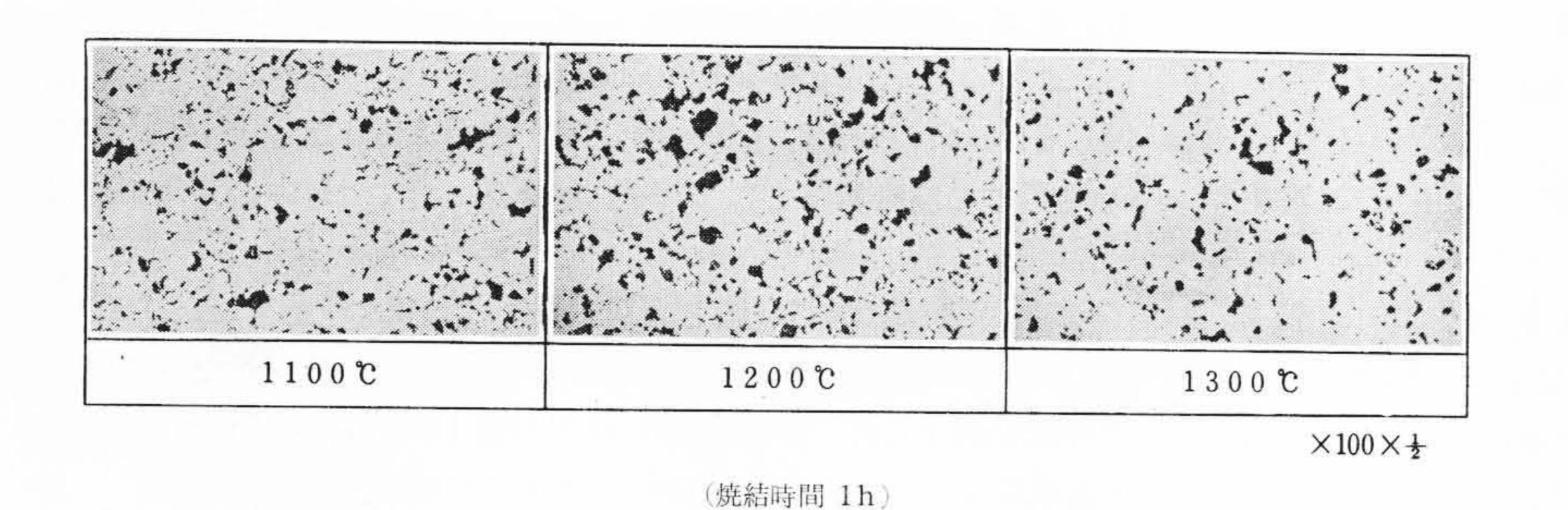


図6 焼結空孔の分布状況に及ぼす焼結温度の影響

低下する傾向にあり、再焼結後は増加の傾向を示している。これは素材加熱温度の低いほど加工硬化が大きく、再焼結によって軟化したためであろう。衝撃強さは素材加熱温度の上昇とともに増加の傾向を示している。1,100 以上では再焼結しても衝撃強さは変化しないが、1,000 以下では再焼結の値は著しく増大する。これは再焼結による軟化のためである。

このようにHS処理は、1回の再圧縮で理論密度に近づけることが可能である。ただ図2にみられるようにHS処理によって得られる衝撃強さが最高6kg·m/cm²程度で一般の溶製鋼材に比べて小さい値となるのは、原料Fe粉がミルスケール還元粉のためSi, Mnがすべて酸化物として混入しており非金属介在物が非常に多いことによるものである(2)(3)。したがって非金属介在物の少ないFe粉を使用すれば、焼鈍状態の衝撃強さはかなり向上するはずである。また非金属介在物の種類によっては再焼結によって形状が球形となり衝撃強さを向上させることが可能である(4)。

図3はNi 鋼 (850°C×0.5 h 油焼入れ,150°C×1 h 焼もどし)の機械的性質に及ぼす密度の影響を示したものである。この結果によれば,密度の増加とともに引張強さは直線的に向上し,伸びおよび衝撃強さは \mathbf{H} S 処理によって著しく向上することが知られる。特に衝撃強さの向上が著しく,再圧縮再焼結品が 0.5 kg·m/cm² 程度であるのに対し, \mathbf{H} S 処理材は 3 kg·m/cm² の値を示している。

図 4 は浸炭焼入れした Ni 鋼の浸炭層のかたさ分布を示したもの

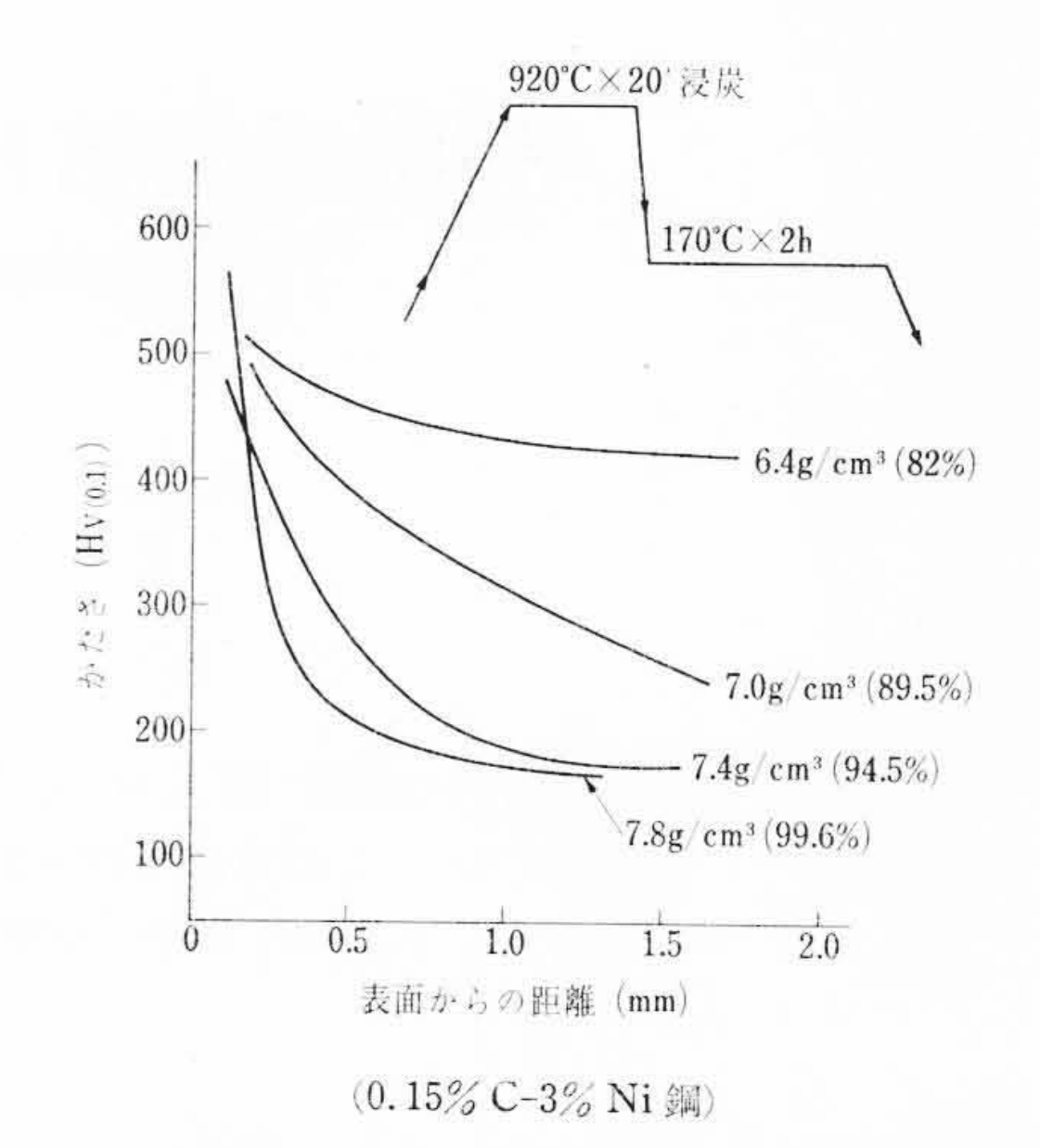


図4 浸炭焼入れ後のかたさ分布に及ぼす 焼結密度の影響

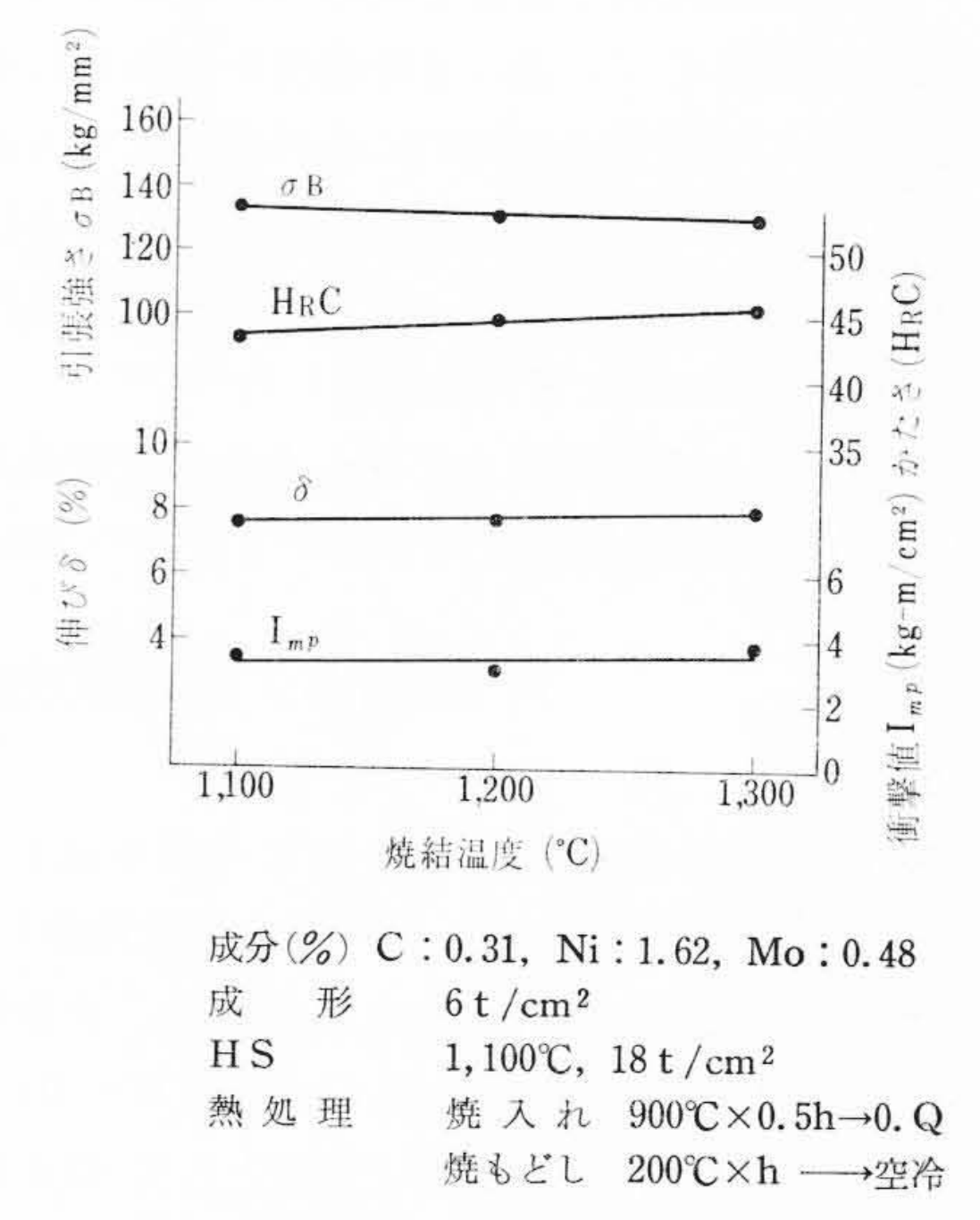


図 5 高密度 Ni-Mo 焼結鋼の機械的性質に 及ぼす焼結温度の影響

である。密度 7.0 g/cm³ 以下では内部まで浸炭硬化しており、密度が増大すると浸炭層が明りょうになってくる。焼結品を浸炭するとガスは空孔に浸入して空孔を介して浸炭するため作業条件を確立することが非常にむずかしいが、 HS 処理によって空孔がほとんど消滅すると浸炭は一般の溶製鋼材と同様に扱うことができる。

3.2 高密度 1.5% Ni-0.5% Mo 焼結鋼の機械的性質

図5はHS処理したNi-Mo鋼の機械的性質におよぼす焼結温度の影響を、図6はHS処理素材の空孔分布状態を示したものである。焼結体の機械的性質は焼結の進行(第1~第3段階)と密接な関係があるとされている⁽⁵⁾。

図6に見られるように本実験の焼結温度は第1段階および第2段階にあり、したがってこのような状態にある焼結体の機械的性質は焼結温度によって大きく変化するが、HS処理後は焼結温度が変わっても機械的性質に変化はみられない。これはHS処理によって緻(ち)密化したのちに残存するごく少量の空孔形状は素材の焼結条件に無関係に同一形状を呈していることを物語っている。密度比99%以上に緻密化したのち、再焼結しても機械的性質に変化がみられないことを図2で述べたが、図2で採用した再焼結温度は焼結の第1段階に相当する温度であり、空孔の形状に変化がなかったのではないかと思われる。したがって再焼結温度を第2段階の温度域に上昇させれば機械的性質に変化が生ずるはずである。しかしな

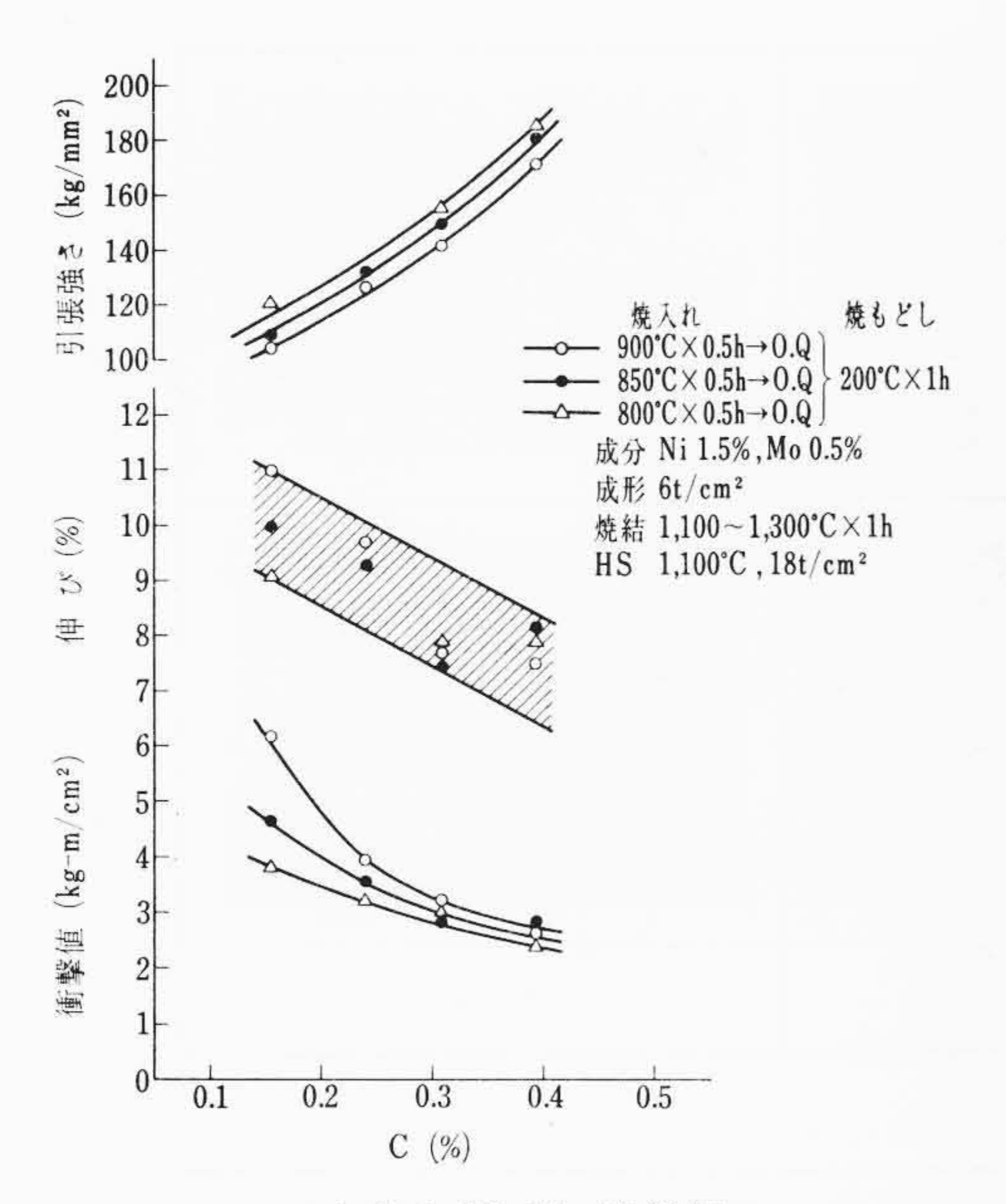
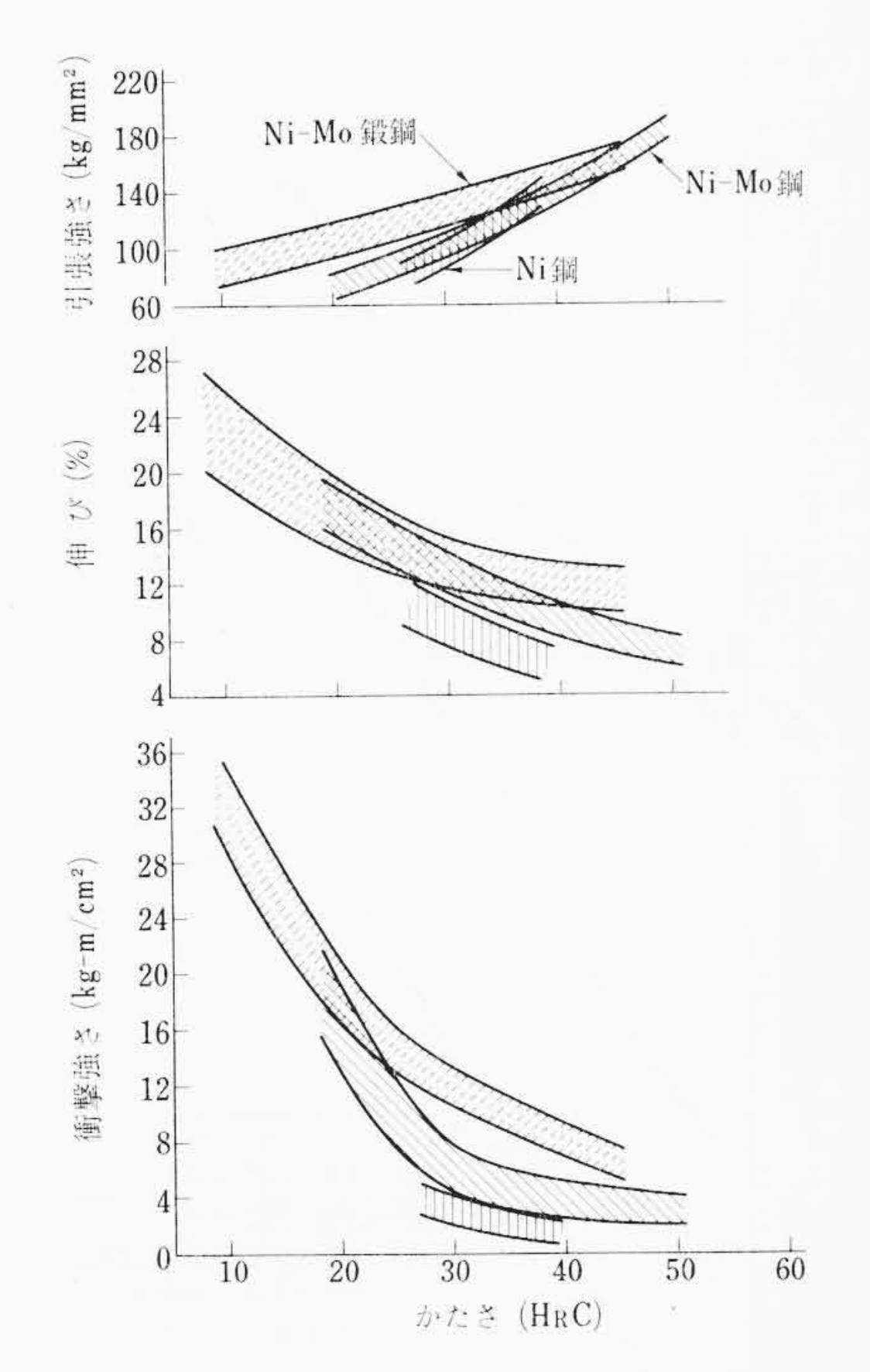


図7 高密度 Ni-Mo 焼結鋼の 機械的性質に及ぼす C の影響

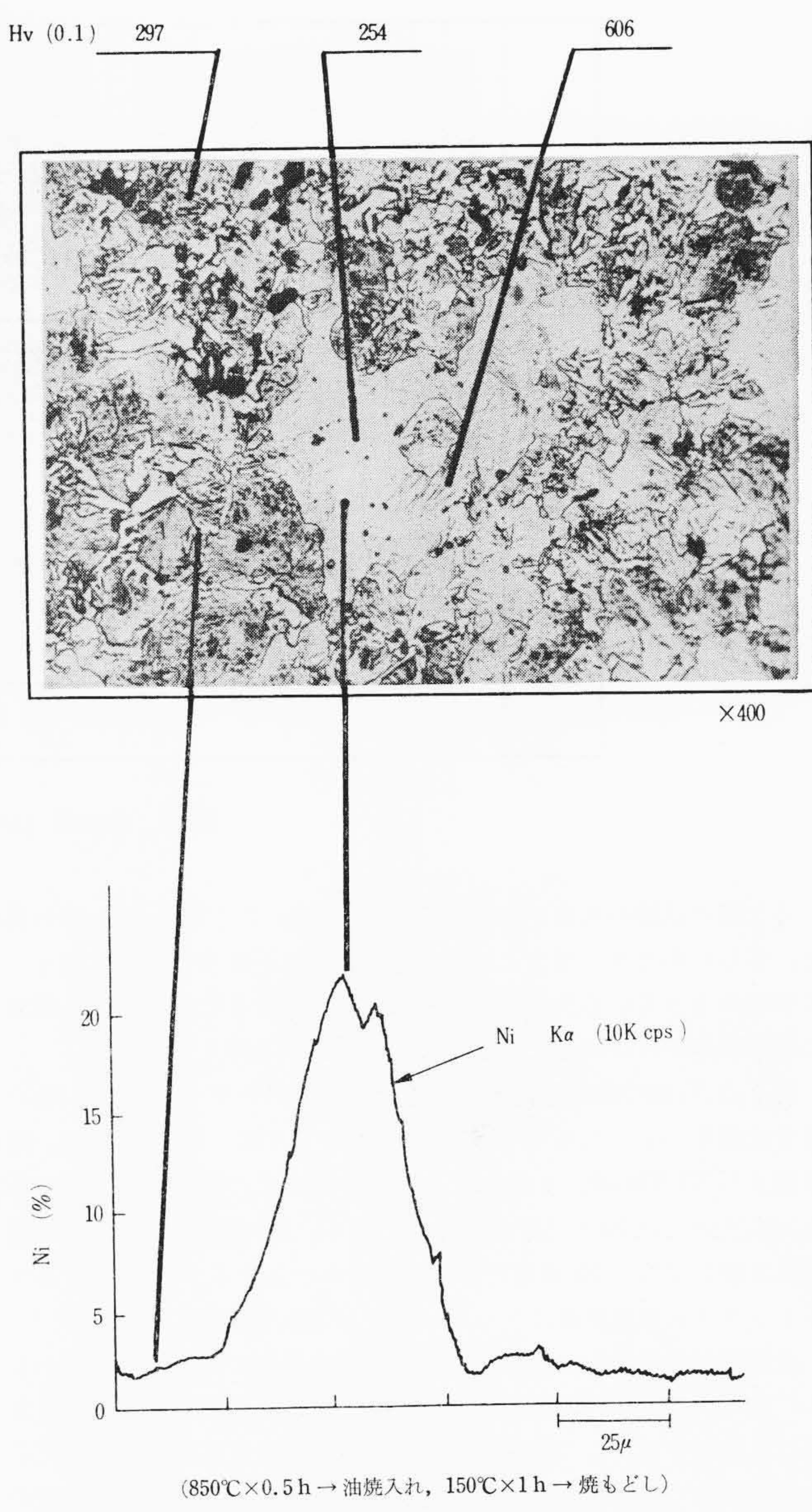


	成	分	(%)	熱	処 理
鋼 種	С	Ni	Mo	焼入温度 (℃)	焼もどし (℃×h)
Ni-Mo 鋼	$0.1 \sim 0.4$	1~4	0.2~0.5	800~900	200×1
Ni 鋼	0.15~0.15	2~3	-	850	150×1
Ni-Mo鍛鋼	0.2	1~4	0.2~0.3	750~900 900	$150 \sim 200 \times 1$ 650×0.5

図8 高密度焼結鋼と溶製鍛造材との比較

がら、HS処理した鋼の第3段階開始温度が低下し、このためオーステナイト結晶粒の成長が著しく、むしろ衝撃強さは低下する傾向がみられ⁽⁴⁾、HS処理本来の目的である靭性改善とは相反する結果となる。

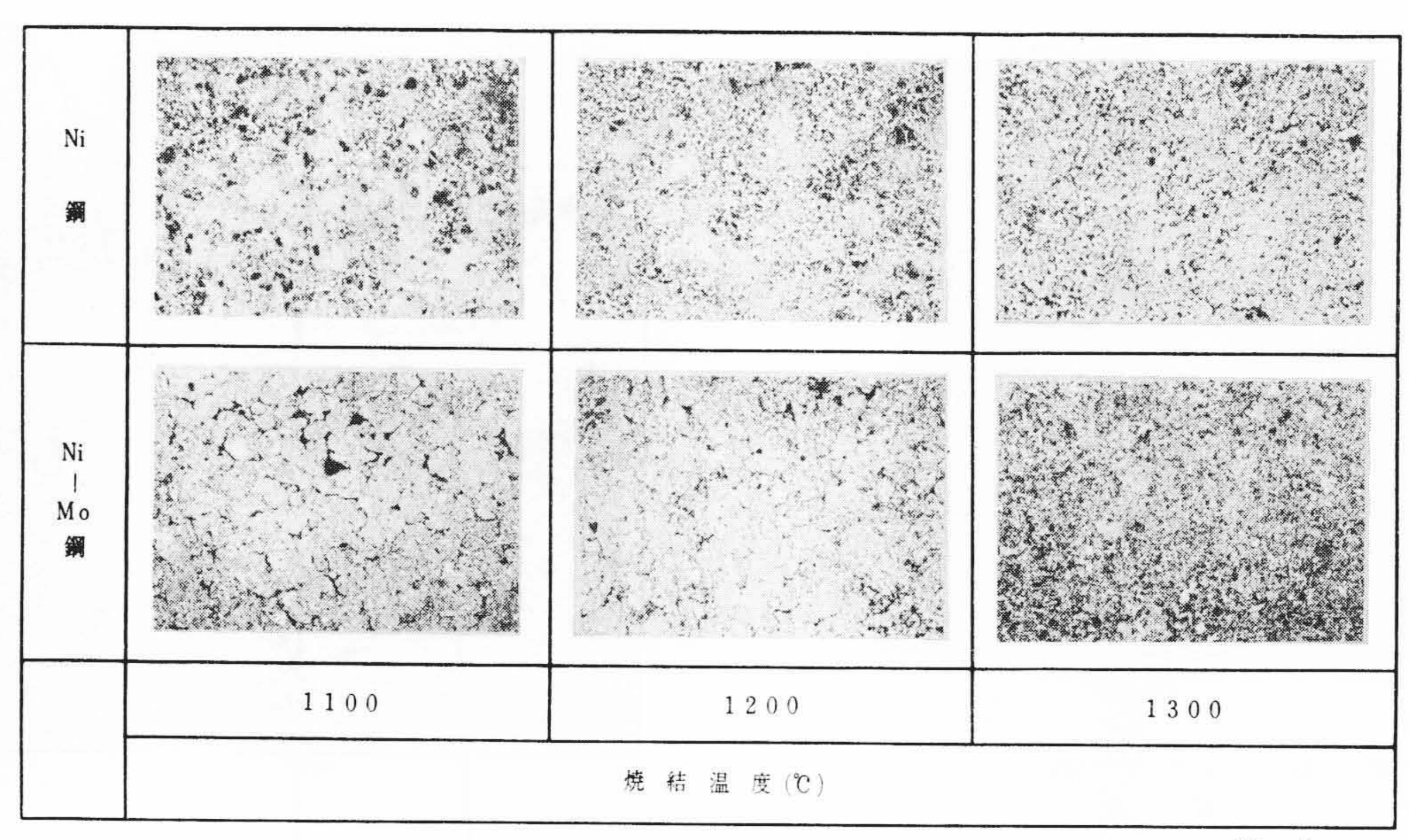
図7は機械的性質に及ぼすCの影響を示したものである。Cが増加すると引張強さは上昇し、伸びおよび衝撃強さは低下の傾向を示している。また焼入温度800~900℃の範囲では、引張強さと伸びは焼入温度の影響が明らかでないが、衝撃強さは低C側で明りょうな相違がみられ、焼入温度の高いほど衝撃強さが大となる。



(850℃×0.5h→油焼入れ,150℃×1h→焼もどし) 図 9 0.15% C-3% Ni 鋼の顕微鏡組織および EPMAによる Ni の線分析結果

3.3 HS 処理した Ni 鋼と Ni-Mo 鋼との比較

図8はHS処理した Ni 鋼および Ni-Mo 鋼ならびに溶製 Ni-Mo 鋼の機械的性質をかたさで整理した結果である。Ni 鋼は Ni-Mo 鋼 に比べて伸び,衝撃強さがやや劣っているが,かたさとの関係は類 似の傾向を示している。Ni-Mo 鋼の個々の性質を溶製材と比較し てみると, 引張強さは低硬度側では溶製材よりやや劣るが, 高硬度 側では溶製材と同等の引張強さを示すようになる。伸びはかたさの 増加するにつれて低下する傾向を示しているが, 焼結鍋が一様に低 下するのに対して、溶製材の場合には HrC 30 付近から低下の傾向 が小さくなる。そして溶製材の低硬度における低下傾向と焼結材の 低下傾向とはほぼ等しい。 衝撃強さは焼結鋼が HRC30 付近に、ま た溶製材は HRC 25 付近に明りょうな変曲点がみられ、ともにかた さの増加とともに低下している。このような変曲点は材料の延性破 壊と脆(ぜい)性破壊との遷移点に関係があるのではないかと考えら れる。焼結材の変曲点が溶製材の変曲点よりも高硬度側になってい るのは欠陥の数と大きさが焼結材と溶製材とで異なり,破壊に対す る感受性はかたさに依存しており H_RC 25 以下の軟かい状態では, 破壊は焼結材と溶製材との欠陥の状態の相違にあまり影響されない 領域にあり、HRC 25 付近以上になると焼結材と溶製材とがもって



 $\times 100 \times \frac{1}{2}$

焼結鋼 (as sinter) の顕微鏡組織

いる欠陥の状態の相違が影響するようになってくるものと思われ る。さらにかたさが増すと材料のき裂感受性が非常に大きくなり, 溶製材のもっている欠陥でも容易に破壊するようになるため, 両者 の衝撃強さが再び同じ値になるのではないかと考えられる。

図9はNi鋼の顕微鏡組織とX線マイクロアナライザによるNiの 線分析結果を示したものである。前述のように、Ni 鋼の伸び、衝 撃強さが Ni-Mo 鋼よりやや劣っているのはこの結果から明白であ る。本実験では Ni を 3% 混合しているが、Ni 濃度は 2~20% の範 囲に変動しており Ni 濃度の非常に高いオーステイト(白色部)とマ トリックスとの境界部はマルテンサイトであり非常にかたい。

金属粉末を混合して焼結する場合, 合金元素の均一化がむずかし く、特にNiのように拡散係数の小さい元素を混合して焼結すると 著しく偏在する。この偏在は中低密度品の場合には機械的性質にそ れほど大きく影響しないが、空孔が非常に少なくなると合金元素の 偏在が欠陥として作用し機械的性質に大きく影響するようになる。 したがって合金粉を使えば図りのような合金元素の偏在はなくなる から機械的性質が向上する。

図 10 は Ni 鋼および Ni-Mo 鋼の焼結体(気孔率 10~15%)の顕微 鏡組織を示したものである。1,100℃ 焼結した Ni 鋼は組織の不均一 がかなり目だっている。 焼結温度の上昇とともに組織は均一化し, 1,300℃ で焼結すると、ほぼ均一な組織となる。したがって焼結温度 を高くすれば、図9にみられるような極端なNi濃度の変動はなく なり, 伸び, 衝撃強さの改善も可能である。

Ni-Mo 鋼は焼結温度の上昇に伴って、空孔の形状が変わっては いるが、炭化物の分布状態はきわめて均一である。X線マイクロア ナライザで Ni と Mo の線分析を行なっても、これら元素の濃淡を 検出することはできない。しかしながら、全膨張測定によって焼入 れした試料の熱膨張を測定すると、200~350℃付近にかなり大き な膨張と収縮が認められる。そしてこの膨張収縮はCの多いほど明 りょうになる。図11はC0.15%および0.45%のNi-Mo鋼(HS 処理材) と C 0.2% の溶製 Ni-Mo 鋼を 900℃ から焼入れて熱膨張を 測定した結果である。明らかに 200℃ 付近以上に膨張が認められ、 350℃付近に収縮が認られる。これに対して、溶製材にはこのよう な膨張収縮は認められず熱膨張曲線はAc1点にいたるまで直線で ある。この膨張収縮は焼もどしの第2段階における残留オーステナ イトの分解と ε 炭化物が θ 炭化物に変化するために生ずる (第3段

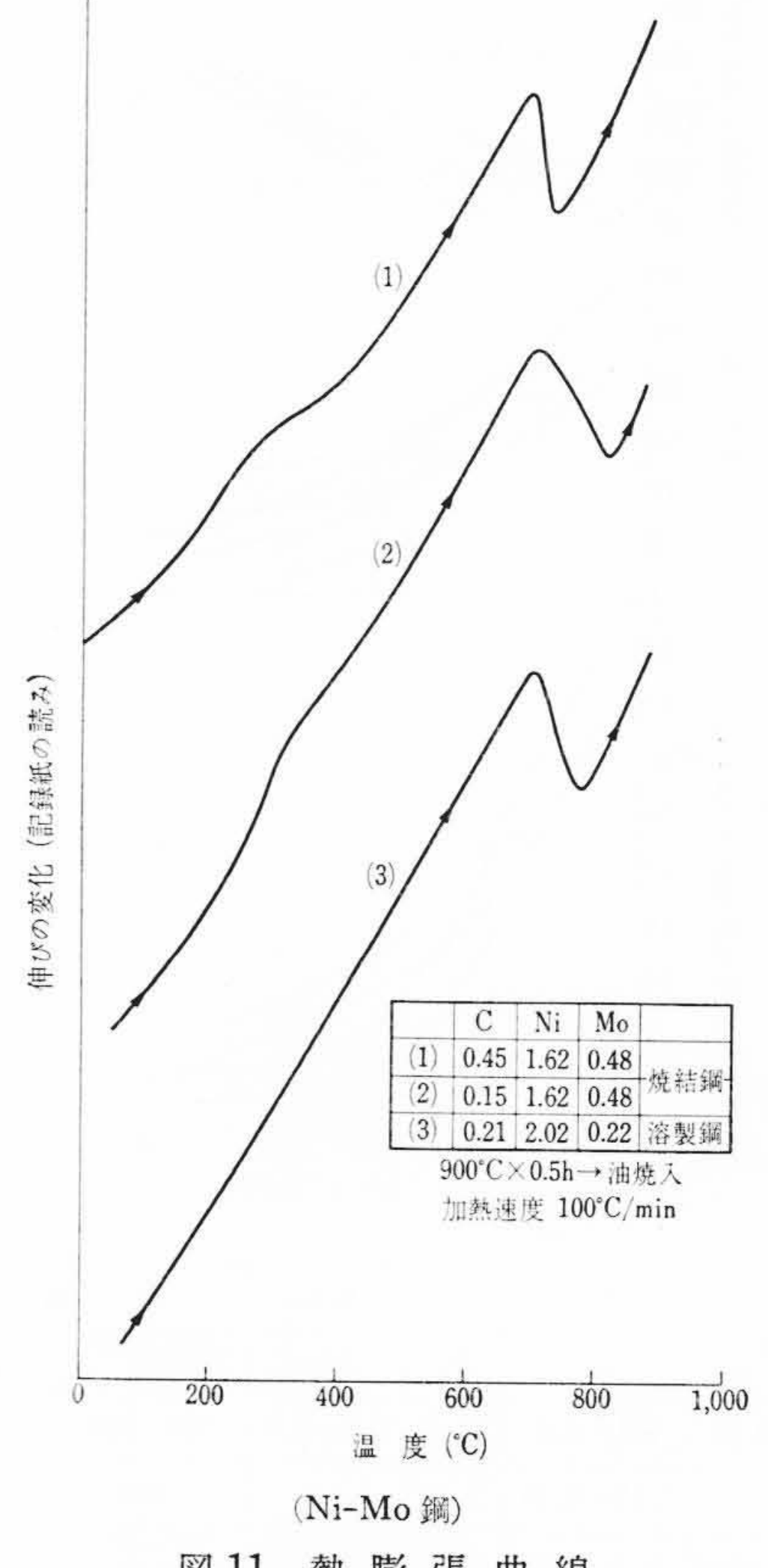


図11 熱膨張曲線

階) ものと考えられる⁽⁶⁾。本実験のような低合金鋼でこのような 膨張収縮を全膨張測定法によって検出されることはないとされてお り, 鍛造品では示差熱膨張によって測定されるのが普通である。図 11のように第2,第3段階の膨張収縮が全膨張測定によって認めら れるということは焼結鋼には相当多量の残留オーステナイトが存在 することを物語っている。焼結鋼に残留オーステナイトが多いとい うことは合金元素の偏析によるものではないかと考えられる。そし てこの偏析はX線マイクロアナライザでは検出できないような大き さのものであろう。図7において低炭素側の衝撃強さが焼入温度に よって異なるのは、残留オーステナイトの量が焼入温度の高いほど

多くなることに関係があると考えられる。すなわち C 0.2% 以下では焼入かたさが H_RC 30~40 で図 B における衝撃強さが溶製材と焼結材で最も大きく異なる領域にあり、靭性の高い残留オーステナイトが多いほど欠陥の影響は小さくなり、衝撃強さが大きくなる。これに対し、高炭素側ではかたさが H_RC 40~50 でき裂感受性が非常に大きくなり、焼入れによって生ずる残留オーステナイトの影響がみられなくなるため、焼入温度と衝撃強さの関係が明らかでなくなるのではないかと考えられる。

4. 結 言

以上, 焼結体を熱間で再圧縮 (HS 処理) した高密度 Ni 鋼および Ni-Mo 鋼の機械的性質などを測定した結果を要約すると, 次のとおりである。

- (1) HS処理によって作製した Ni 鋼および Ni-Mo 鋼は、従来の手法で作製したものに比べて機械的性質が大きく改善される。特に衝撃強さの改善が著しい。
- (2) HS 処理後の機械的性質は焼結温度に無関係に一定であり、HS 処理後再焼結しても機械的性質は変わらない。
- (3) Fe-Ni 混合粉を1,150℃で焼結すると合金中のNi 濃度は大幅に変動しており、Hv 600 程度のマルテンサイトが各所に生ずる。このために合金粉を焼結したものに比べて伸び、衝撃強さがやや劣っている。しかし焼結温度を高くすると組織が均一になっ

てくるので伸び,衝撃強さを改善することが可能である。

(4) 合金粉を焼結した Ni-Mo 鋼は焼結温度が低くても均一な組織であるが、ミクロ的な合金元素の偏折のため焼入れを行なうと残留オーステナイトが溶製材に比べて多くなり、焼もどしの第2,第3段階における膨張収縮が大きく現われる。この残留オーステナイトが C 0.15%程度の Ni-Mo 鋼のき裂感受性をやわらげる働きをし、焼入温度の高いほど衝撃強さを大きくする原因であると考えられる。

本報告を執筆するにあたり,実験に協力された,日立製作所日立研究所 51 研究室 渡辺技術員,岡山技術員ならびに日立粉末治金株式会社松戸工場 開発課 飛田技術員の諸君に感謝の意を表する次第である。

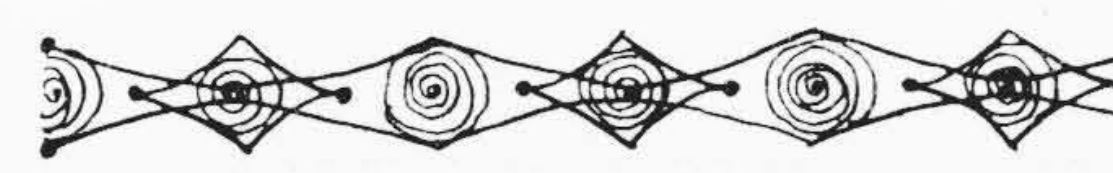
参考文献

- (1) 武谷,早坂,鎌田: 粉体粉末冶金協会昭和43年秋季大会講演概要集1-34(昭43-11)
- (2) 武谷, 早坂, 鎌田: 日立評論, 51, 147 (昭 42-2)
- (3) Takeya, Hayasaka, Kamata: Hitachi Review, 18, 202 (May 1969)
- (4) 鎌田,安藤,早坂: 粉体粉末冶金協会昭和44年春季大会講演概要集,1-12(昭44-5)
- (5) 松山芳治: 応用金属学大系粉末冶金, 113 (昭 37, 誠文堂新 光社)
- (6) 清水謙一, ほか5名: 鉄鋼における変態と析出, 118 (昭 43 日本金属学会)



実用新案登録 第888973号

新案の紹介



千代本 武 雄

ピストンロッドの発熱防止装置

この考案は、シリンダ内にピストンを往復動させることによって 圧縮空気を得る往復動圧縮機においてピストンを往復動させたとき ピストンロッドに発生するしゅう動熱を除去しピストンロッドを一 定温度以下に保つようにしたものである。

図において1はシリンダ、2はピストン、3はピストンロッド、4はテフロン製グランドパッキン、5はクロスガイド、6はコネクテングロッド、7は吸入弁、8は吐出弁、9はウォータジャケット、10はピストンロッド3に設けた長穴、11は長穴10の径より小さい外径のパイプ、12はパイプ11の先端部外周に設けた小孔、13はパイプ11を支持するボルダを示し、油がピストンロッド3の長穴10とパイプ11の外周との空間に供給され(図2参照)、この空間内を長穴10の先端に向かって流れてピストンロッド3から熱を奪う。熱を奪って温度が上がった油が長穴10の先端部に達するとパイプ11の小穴12を通ってパイプ11の内部に流れ込む(図3参照)。すなわち熱を奪った後の油はピストンロッド3と直接接触しないような径路で図示していないが油タンクに戻るようにしたものである。



